

論 文

UDC 669.141.241.2 : 669.14-412 : 620.192.43 : 548 : 536.421.4

チャンネル型偏析の生成の理論解析とモデル実験*

浅井 滋生**・小沢 順造***・鞭 嶽**

Theoretical Analysis and Model Study of the Formation of Channel-Type Segregation

Shigeo ASAI, Jun-zo OZAWA, and Iwao MUCHI

Synopsis:

A mathematical model of a channel-type segregation is developed on the basis of the stability theory. By focusing on the difference of the cooling conditions, the instability phenomena inducing the segregation are theoretically analyzed by use of the model.

The analytical results are confirmed by the model experiments. In these experiments, the aqueous solutions of NH_4Cl are freezed by cooling from the top or the bottom of a mold having the adiabatic side walls or by cooling through the side walls.

Thermal insulation of the side walls are essential for preventing the channel-type segregation. When a mold is cooled through its side walls, controlled preparation of the alloy elements is required to prevent the formation of segregation.

1. 緒 言

キルド鋼塊のマクロ偏析の生成機構については、従来多くの研究が発表され、それらの詳しい紹介^{1,2)}もなされている。しかし、マクロ偏析の生成機構を不安定現象と関連づけて研究した報告は極めて少なく、MEHRA-BIAN³⁾およびFLEMINGS⁴⁾の理論解析に基づいた報告が知られている程度である。

著者らは、前報⁵⁾で、マクロ偏析の生成原因の相違に着目して、他の研究者による多くの研究結果を分類整理し、さらに、共存相内での濃化溶鋼の浮上説に基づいて理論解析を行ない、 NH_4Cl 水溶液を凝固させる模型実験を行なつた。その結果、共存相内における自然対流と融解現象との複合作用によつて、共存相内で局所的に固相率の低い部分が生成するというような不安定現象が存在することを示した。

従来、逆V偏析は、濃化溶鋼が凝固前面を浮上する際に捕捉されて生成すると考えられてきた。この考え方によると、逆V偏析が凝固前面の形状の逆円錐形状になることが予測されるが、実際には、ひも状になる理由について説明することができない。先に述べた不安定現

象は、チャンネル型偏析の生成機構の根拠となる。

なお、前報⁵⁾の理論解析結果に基づいて、チャンネル型マクロ偏析の抑制防止には、次の2種類の方法が有効になることが推定される。すなわち、第1の方法は、凝固の進行に伴つて共存相内で濃化する溶鋼の密度を増加させるよう合金元素を添加する方法である。第2の方法は、冷却条件を調節する方法である。

実際に鈴木ら⁶⁾は、合金元素としてモリブデンを添加すると逆V偏析が抑制され、バナジウムを添加すると助長されることを実験によって示しているが、これは第1の方法に属するものである。しかしながら、合金成分の添加は一般に、鋼の機械的性質に影響するので、ある成分については添加が許されない場合があり、そのような場合には第2の方法を採用することが考えられる。

本報では、第2の方法に焦点を合わせて、冷却条件の相違がチャンネル型マクロ偏析の生成に及ぼす効果について検討する。すなわち、水平方向の濃度勾配を考慮したマクロ偏析の数学的モデル⁵⁾を、水平および垂直方向の温度勾配を考慮したモデルに拡張し、このモデルを使ってチャンネル型マクロ偏析を誘発する不安定現象について解析する。なお、二次元の鋳型装置で、 NH_4Cl 水

* 昭和52年4月本会講演大会にて発表 昭和52年4月1日受付 (Received Apr. 1, 1977)

** 名古屋大学工学部 工博 (Faculty of Engineering, Nagoya University, Furo-cho Chikusa-ku Nagoya 464)

*** 名古屋大学工学部 (現:青山製作所) (Faculty of Engineering, Nagoya University, Now Aoyama Screw Manufacturing Co. Ltd.)

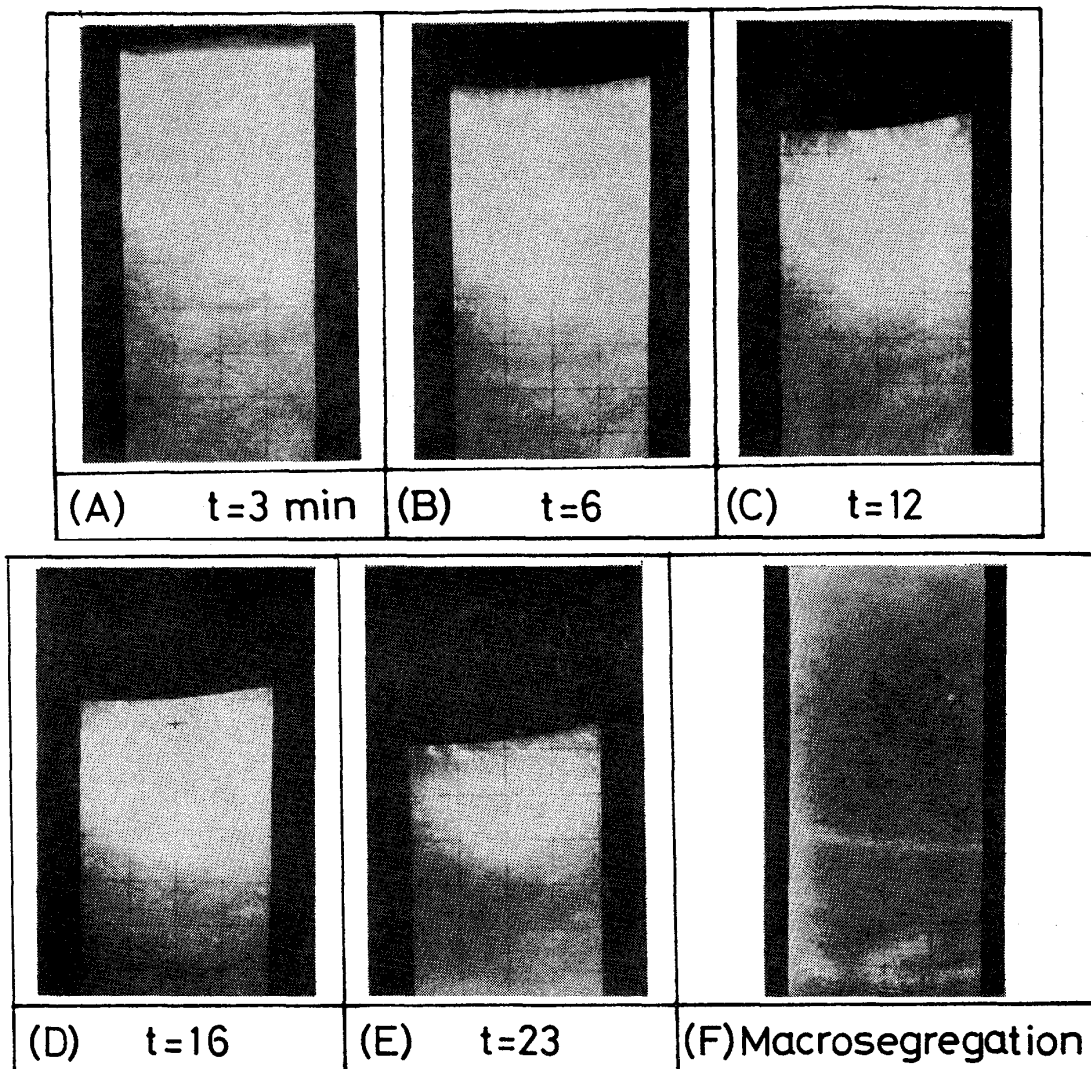


Photo. 1. Transitional freezing in the mushy zone observed by cooling from the top of a mold.
(coolant : liquid nitrogen)

$((\partial\rho/\partial T)$ の値) を減少させるようにすれば、チャンネル型マクロ偏析の生成が抑制され得るものと考えられる。

(2) 側面断熱の場合

垂直方向温度勾配が水平方向の温度勾配に比べて十分大きい場合（すなわち、 $|\partial T/\partial Y| \gg |\partial T/\partial X|$ ）には、 $|\partial^2 T/\partial Y^2| \gg |\partial^2 T/\partial X^2|$ でありしかも（1）の場合とは異なつて $\partial T/\partial X \approx 0$ であるため、（13）式は（15）式のよう書ける。

$$\begin{aligned} & \{(1-K)(T_m - T)/\varepsilon + \Delta H/c_p\} \cdot (\partial\varepsilon/\partial t) \\ & = (\kappa/c_p\rho)(\partial^2 T/\partial Y^2) + (1-\varepsilon)v(\partial T/\partial Y) \quad \dots (15) \end{aligned}$$

また、（12）式で $\partial T/\partial X = 0$ とすると（12）式右辺の自然対流を誘発する項が消え、解として $\psi = \text{const.}$ が得られる。すなわち、 $\psi = \text{const.}$ から得られる流速分布は $u = v = 0$ だから、（15）式は（16）式のようになる。

$$\begin{aligned} & \{(1-K)(T_m - T)/\varepsilon + \Delta H/c_p\} \cdot (\partial\varepsilon/\partial t) \\ & = (\kappa/c_p\rho) \cdot (\partial^2 T/\partial Y^2) \dots (16) \end{aligned}$$

凝固過程を通じて温度分布は Y 方向に凸となるので、常に $(\partial^2 T/\partial Y^2) \leq 0$ である。よつて $(\partial\varepsilon/\partial t) < 0$ となり、系は安定となり、チャンネル型マクロ偏析の生成は抑制されることになる。

しかし、この結論は、凝固過程を通じて系に外乱が入らず、 $\partial T/\partial X = 0$ の条件が保たれるという非現実的な束縛条件下で成立するものであり、実際には、外乱によつて、 $\partial T/\partial X \neq 0$ となることが想定される。

そこで、温度の微小変動の外乱が入った場合について考察する。すなわち、側面断熱で、上面から冷却した場合と下面から冷却した場合に、外乱が時間の経過に伴つて拡大するか、あるいは、消失するかについて解析を行なう。ここで、外乱が拡大する場合には、 $\partial T/\partial X = 0$ の

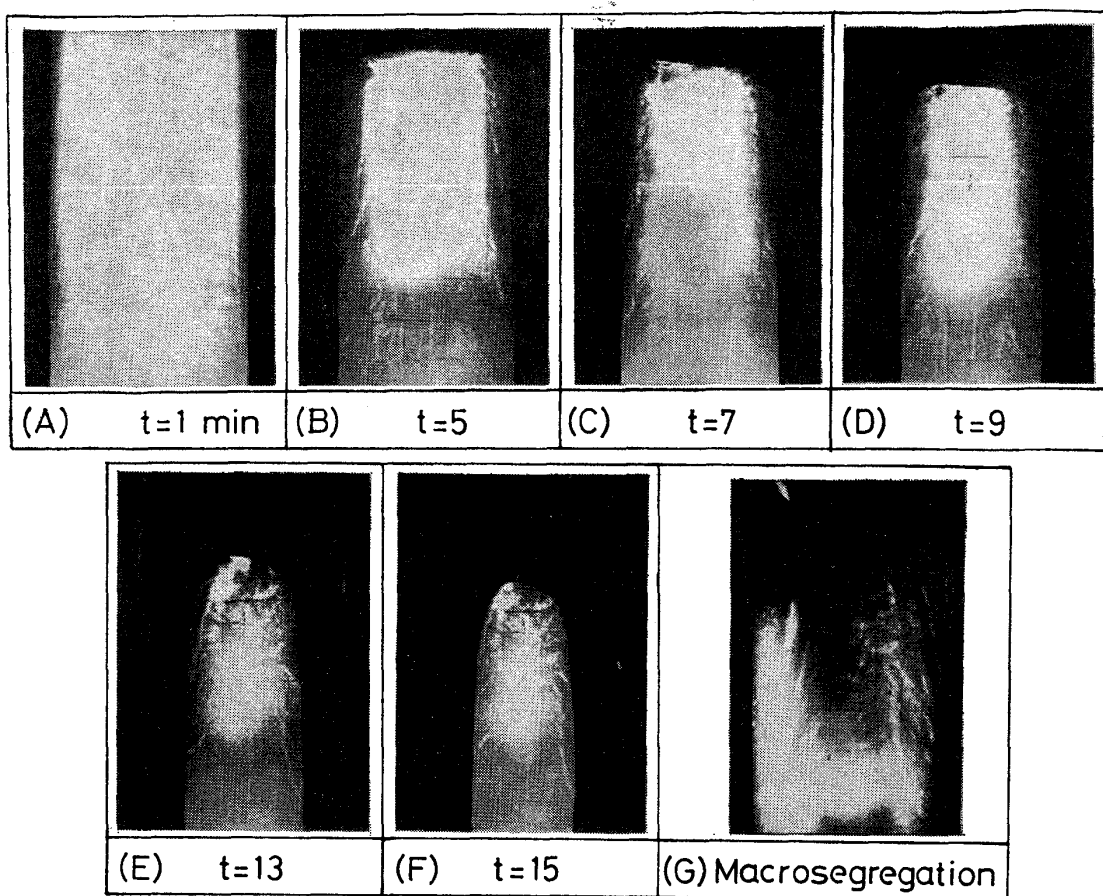


Photo. 2. Channel-type segregation in the mushy zone observed by cooling from the top and side walls of a mold. (coolants : liquid nitrogen and the mixture of ethyl alcohol and dry ice)

条件が破れて流動が引き起こされ、マクロ偏析生成の可能性が存在するものと考えられる。

側面断熱の条件があるため、微小な外乱が入つた後も $|\partial T/\partial Y| \gg |\partial T/\partial X| \approx 0$ と考えることができ、近似的に(15)式が成立する。

ϵ の位置による変化 ($\partial\epsilon/\partial X, \partial\epsilon/\partial Y$) が十分小さいとして、(1'), (2), (3)式から $\partial p/\partial X, \partial p/\partial Y$ を消去すると(17)式が得られる。

$$\partial v/\partial X - \partial u/\partial Y = (kg\rho\beta/\mu\epsilon) \cdot (\partial T/\partial X) \quad \dots \dots \dots (17)$$

外乱が入つた場合の温度分布を(18)式のように与える。

$$T = T_0 + T' \quad \dots \dots \dots (18)$$

ここで、 T_0 は外乱が入らない場合の温度を表わし、 T' は温度の微小な変動を表わす。

外乱が入らない場合に、 $T = T_0$ となり、 $\partial T_0/\partial X = 0$ であるから、(12)式の右辺は零となり、その場合、 $\phi = \text{const.}$ の解が得られる。それを(11)式に代入すると、 $v = u = 0$ となる。この場合、(6)式から(19)式が得られる。

$$\begin{aligned} \partial T_0/\partial t &= (\kappa/c_p\rho) \cdot (\partial^2 T_0/\partial Y^2) \\ &+ \{(-\Delta H)/c_p\} \cdot (\partial\epsilon/\partial t) \end{aligned} \quad \dots \dots \dots (19)$$

さて、外乱に伴つて v, u が零からそれぞれ v', u' になつたとして、この v' と(18)式の T を(6)式に代入すると(20)式が得られる。

$$\begin{aligned} \partial T_0/\partial t + \partial T'/\partial t + \epsilon v'(\partial T_0/\partial Y + \partial T'/\partial Y) \\ = (\kappa/c_p\rho) \cdot (\partial^2 T_0/\partial Y^2 + \partial^2 T'/\partial Y^2) \\ + \{(-\Delta H)/c_p\} \cdot (\partial\epsilon/\partial t) \end{aligned} \quad \dots \dots \dots (20)$$

同様にして、外乱が入つた場合については、(17)式は(21)式のようになる。

$$\begin{aligned} \partial v'/\partial X - \partial u'/\partial Y \\ = (kg\rho\beta/\mu\epsilon) \cdot (\partial T_0/\partial X + \partial T'/\partial X) \\ = (kg\rho\beta/\mu\epsilon) (\partial T'/\partial X) \end{aligned} \quad \dots \dots \dots (21)$$

一般に、チャンネル型マクロ偏析はひも状に生成し、水平方向より垂直方向に近い角度で発達することを考慮すると、 v' の水平方向変化は u' の垂直方向変化に比べて十分大きいと考えられる。すなわち、(22)式の関係が成立するものと推察される。

$$|\partial v'/\partial X| \gg |\partial u'/\partial Y| \quad \dots \dots \dots (22)$$

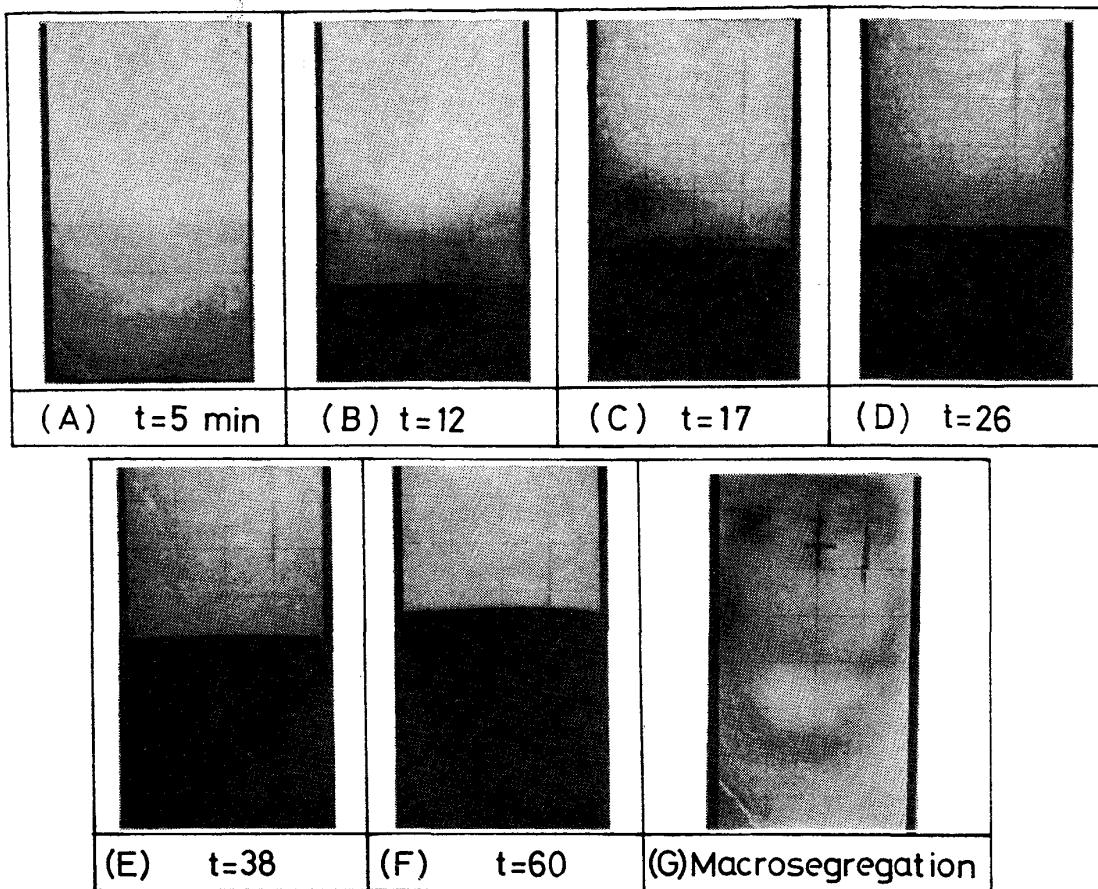


Photo. 5. Transitional freezing in the mushy zone observed by cooling from the bottom of a mold. (coolant : liquid nitrogen)

を装入した冷却槽を接解させ、上面と側面から同時に冷却する実験を行なつた。

凝固の進行中、逆V偏析の生成過程の推移を鋳型背面からの透過光によつて写真撮影した。また、凝固完了後冷却槽内の冷却剤を除去した後、撮影用ランプによつて背面から全面にわたつてほぼ均一に加熱すると、水の濃化部から優先的に溶解し、マクロ偏析の分布が観察できるが、これを透過光によつて撮影した。

実験は、(I)上面から液体窒素で冷却する場合、(II)上面から液体窒素、側面からエチルアルコールとドライアイスで冷却する場合、(III)側面からエチルアルコールとドライアイスで冷却する場合、(IV)側面から液体窒素で冷却する場合、(V)下面から液体窒素で冷却する場合の5種類の実験を行なつた。

Photo. 1に、実験(I)の凝固進行中のPhoto.(A)～(E)および凝固完了後に均一に加熱して溶解させた時のPhoto.(F)を示す。上部の黒く映つている部分が固相で、底部の灰色の部分が共存相領域である。各写真の下に凝固経過時間を示した。上面から冷却する場合には、凝固進行中および凝固完了後の写真でいずれもチャンネ

ル型マクロ偏析は見られない。これは、先の理論解析からも明らかである。なお、この場合、Photo.(F)に見られるようにチャンネル型ではないがバンド状の偏析帯の生成があつた。Photo.(F)で、左側の壁にそつて見られる白い箇所は加熱がかならずしも均一でなかつたために生じたものであり、偏析ではない。

Photo. 2には、実験(II)の写真を示す。Photo.(B)～(D)では側壁から発達する固相前面に現われた小さなチャンネルが時間経過に伴つて連結したり、あるいは合体したりして大きなチャンネルへ発達してゆく過程が見られる。これらの太いチャンネルはPhoto.(E)、(F)に見られるように、前進してくる固相面によつて捕捉され、固相内に固定されて、成長が停止する。凝固完了後のPhoto.(G)のチャンネルの形状および位置は、固相内に捕えられる直前のチャンネルのそれらと正確に一致していることがわかる。

Photo. 3には、実験(III)の写真を示す。実験(II)の場合とほぼ同様なチャンネルの発達状況が認められるが、この場合には、上面からの冷却がないため、チャンネルの発達は実験(II)の場合よりも顕著である。なお、実験

- (1976) 1, p. 1
- 5) 浅井滋生, 佐原崇彦, 鞍 嶽: 鉄と鋼, 63
(1977) 9, p. 1512
- 6) 鈴木是明: 学振 19 委-9919 (1976)
- 7) H. S. CARSLAW and J. C. GEAGER: Conduction
of Heat in Solid, 2nd ed. (1959), p. 33, p. 53
[Oxford at Clarendon Press]
- 8) 化工協会編: 化学工学便覧, 改訂三版(1968),
p. 923, [丸善]
- 9) P. C. CARMAN: Flow of Gases through Porous
Media, (1956), p. 13, [Butterworth, London]
- 10) R. J. McDONALD and J. D. HUNT: Trans.
AIME, 245(1969), p. 1993
- 11) 高橋忠義, 工藤昌行: 学振 19 委-9949 (1976)
- 12) 森 信幸, 大城桂作, 松田公扶: 日本金属学会講
演概要 1975 年 4 月, p. 198